

神戸大学工学部 正 藤 井 学
 „ „ „ 梶 村 雄 佑
 香川県方 綾 安 広

(1) まえがき

プレテンションPC部材の定着端の応力状態については、これまで理論的研究は数多くなされてきたが、境界条件および荷重条件においてその取り扱い方がむづかしく、厳密な弾性理論解は得られていない。本研究は、円筒および円柱に対する応力関数を組合せ、鋼材とコンクリートとの間のすべりを考慮した理論解を得たものである。

(2) 荷重条件

PC部材端を円筒部(コンクリート)と円柱部(鋼材)とにわけて考える。荷重はコンクリートと鋼材との境界面($r=a$)において、半径方向応力(σ_r)と接線方向応力(τ_{rz})に分離し、それぞれに対する応力関数を求める。

(A) コンクリート

(1) σ_r の作用した場合

$$r = a; \sigma_r = a_0 + \sum_{n=1}^{\infty} a_n \cos \frac{n\pi}{l} Z, \quad \tau_{rz} = 0 \quad r = b; \sigma_r = 0, \tau_{rz} = 0 \quad Z = \pm l; \sigma_z = 0, \tau_{rz} = 0$$

(2) τ_{rz} の作用した場合

$$r = a; \sigma_r = 0, \tau_{rz} = \sum_{n=1}^{\infty} b_n \sin \frac{n\pi}{l} Z \quad r = b; \sigma_r = 0, \tau_{rz} = 0 \quad Z = \pm l; \sigma_z = 0, \tau_{rz} = 0$$

(B) 鋼材

(1) σ_r の作用した場合

$$r = a; \sigma_r = a_0 + \sum_{n=1}^{\infty} a_n \cos \frac{n\pi}{l} Z, \quad \tau_{rz} = 0 \quad Z = \pm l; \sigma_z = 0, \tau_{rz} = 0$$

(2) τ_{rz} の作用した場合

$$r = a; \sigma_r = 0, \tau_{rz} = \sum_{n=1}^{\infty} b_n \sin \frac{n\pi}{l} Z \quad Z = \pm l; \sigma_z = 0, \tau_{rz} = 0$$

(3) 応力関数

応力関数としては、軸対称変形問題によく用いられるMichellの関数¹⁾を用いる。

$$\nabla^4 \phi = 0, \quad \therefore \quad \nabla^2 = \frac{\partial^2}{\partial r^2} + \frac{1}{r} \frac{\partial}{\partial r} + \frac{\partial^2}{\partial z^2} \quad \cdots (1)$$

$$U = -\frac{\partial^3 \phi}{\partial r \partial z}, \quad W = 2(1-\nu) \nabla^2 \phi - \frac{\partial^3 \phi}{\partial z^2} \quad \cdots (2)$$

ここで ν : ポアソン比, U, W : r 方向および Z 方向変位

$$\left. \begin{aligned} \sigma_r &= 2G \frac{\partial}{\partial z} \left\{ \nu \nabla^2 \phi - \frac{\partial^3 \phi}{\partial z^2} \right\}, \quad \sigma_\theta = 2G \frac{\partial}{\partial z} \left\{ \nu \cdot \nabla^2 \phi - \frac{1}{r} \frac{\partial}{\partial r} \right\} \\ \sigma_z &= 2G \frac{\partial}{\partial z} \left\{ (2-\nu) \nabla^2 \phi - \frac{\partial^3 \phi}{\partial z^2} \right\}, \quad \tau_{rz} = 2G \frac{\partial}{\partial r} \left\{ (1-\nu) \nabla^2 \phi - \frac{\partial^3 \phi}{\partial z^2} \right\} \end{aligned} \right\} \cdots (3)$$

$$\text{ここで } G = \frac{E}{2(1+\nu)}, \quad E: \text{ヤング率}$$

(1)式を満足する応力関数¹⁾として

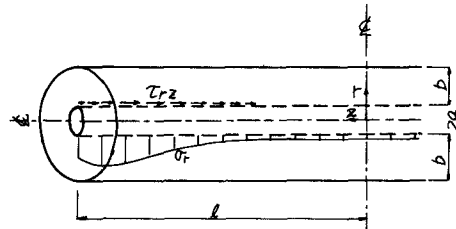


図-1. 座標系および荷重条件

$$2G\phi = F(r, Z) + \sum_{n=1}^{\infty} [f(\beta_n r) \cos(\beta_n z + \theta) + g(\gamma_n z) \{A J_0(\gamma_n r) + B Y_0(\gamma_n r)\}] \quad \dots \quad (4)$$

$$f(\beta_n r) = A_n' J_0(\beta_n r) + B_n' \beta_n r I_1(\beta_n r) + A_n'' K_0(\beta_n r) + B_n'' \beta_n r K_1(\beta_n r)$$

$$g(\gamma_n z) = C_n' \sinh \gamma_n z + D_n' \gamma_n z \cosh \gamma_n z + C_n'' \cosh \gamma_n z + D_n'' \gamma_n z \sinh \gamma_n z$$

(4) 式をさらに円筒、あるいは円柱といたる形状、および荷重条件を考慮して次のようにする。

(a) コンクリート(円筒部)¹⁾

$$2G\phi = A_0 \frac{Z^3}{6} + B_0 Z \ln r + C_0 \frac{Zr^2}{2} + \sum_{n=1}^{\infty} \frac{1}{\beta_n^3} f(\beta_n r) \sin \beta_n Z + \sum_{s=1}^{\infty} \frac{1}{\gamma_s^3} (C_s' \sinh \gamma_s z + D_s' \gamma_s z \cosh \gamma_s z) \{J_0(\gamma_s r) - \frac{J_1(\gamma_s r) \cdot Y_0(\gamma_s r)}{Y_1(\gamma_s r)}\}$$

$$\therefore r' \quad \beta_n = \frac{n\pi}{l}, \quad \gamma_s = \lambda_s/a, \quad \lambda_s; J_0(\lambda_s), Y_0(\lambda_s), J_1(\lambda_s)$$

(b) 鋼材(円柱部)^{2), 3)}

$$2G\phi = A_0 \frac{Z^3}{6} + C_0 \frac{Zr^2}{2} + \sum_{n=1}^{\infty} \frac{1}{\beta_n^3} \{A_n' J_0(\beta_n r) + B_n' \beta_n r I_1(\beta_n r)\} \cdot \sin \beta_n Z + \sum_{s=1}^{\infty} \frac{1}{\gamma_s^3} \{C_s' \sinh \gamma_s z + D_s' \gamma_s z \cosh \gamma_s z\} J_0(\gamma_s r)$$

$$\therefore z' \quad \gamma_s = X_s/a, \quad \lambda_s; J_0(X_s) = 0$$

(4) 变形条件

円筒部と円柱部を組合せ、PC部材端として次の变形条件を考える。

(a) $r=a$; $U_c = U_s$

\therefore U_c, U_s : コンクリート、および鋼材の半径方向変位

$$(b) \quad r=a: \quad w_s - w_c = S(z) = \sum_{n=1}^{\infty} R_n \sin \frac{n\pi}{l} z$$

$$\therefore$$
 $R_n = \frac{2}{l} \int_0^l S(z) \sin \frac{n\pi}{l} z \cdot dz$

$S(z)$: 鋼材のすべり曲線、既知のものとする。

w_s, w_c : 鋼材、およびコンクリートの軸方向変位

(5) すべり曲線

当理論解析に適したすべり曲線が見当らないので、ここで⁴⁾は相対変位理論⁴⁾と接触圧理論⁵⁾を組合せて、すべり曲線を誘導し、これをすべり曲線 $S(z)$ に用いる。

(a) 相対変位理論(1次元弹性体) $\sigma_{sz'} = \frac{1}{\mu \pi R} (\sigma_{si} + E_s \frac{dS(z')}{dz'}) \quad z' = l-z \quad \dots \quad (7)$

(b) 接触圧理論(2次元弹性体)

$$\tau_{z'} = \mu \sigma_r \quad \dots \quad (8), \quad \sigma_r = \phi - \psi \sigma_{sz'} \quad \dots \quad (9), \quad \tau_{z'} = \frac{A_s}{U} \frac{dS(z')}{dz'} \quad \dots \quad (10)$$

\therefore μ : 摩擦係数、 U : 鋼材周長、 σ_{si} : 鋼材の応力解放直前の応力、 β : β/a

$$\phi: \frac{U_s \cdot \sigma_{si}}{n((1-\nu_s) + (1+\nu_s)\beta^2) \frac{1}{B+1} + (1-\nu_s)}, \quad \psi: \phi - \frac{U_s + n k R}{U_s \cdot \sigma_{si}}, \quad n: E_s/E_c, \quad k: A_s/A_c$$

(7)~(10)式より(11)式を得る。

$$\frac{d^2 S(z')}{dz'^2} + \frac{U \mu \psi}{A_s} \frac{dS(z')}{dz'} = \frac{U}{A_s E_s} \{(1+nk) \mu \phi - \mu \psi \sigma_{si}\} \quad \dots \quad (11)$$

(11)式を境界条件を考慮して解くと(12)式を得、これをすべり曲線として用いる。

$$S(z) = \frac{A_s \cdot \sigma_{si}}{E_s \cdot U \cdot \mu \cdot \psi} \cdot e^{-\frac{U \mu \psi}{A_s}(l-z)} \quad \dots \quad (12)$$

(6) 参考文献

- 1) 柴原、尾田.“軸対称変形をする有限円筒問題”機械学会論文集、No.259, Vol.34, 1968
- 2) 斎藤.“短円柱および円盤の軸対称変形”機械学会論文集、No.63, Vol.18, 1952
- 3) “ ” “ ” “ ”“(続)機械学会論文集、No.91, Vol.19, 1954
- 4) E.H. Ratj, M.M. Holmjaniski and V.M. Kolner. Proc. of 3rd Congress of F.I.P. Session III, No.10, 1958
- 5) W. Swida. "Über die Beanspruchung in Vorgespannten Druckstählen" Bautechnik, 1959